

УДК 004.942 + 623.454.862

## ОПРЕДЕЛЕНИЕ МИНИМУМА ОШИБКИ С ИСПОЛЬЗОВАНИЕМ КРИТЕРИЕВ ВЫБОРА МОДЕЛИ ПРИ РЕШЕНИИ ОБРАТНОЙ ЗАДАЧИ МЕТОДОМ СЛУЧАЙНЫХ ПРОЕКЦИЙ

Е.Г. Ревунова

*Международный научно-учебный центр информационных технологий и систем  
НАН и МОН Украины  
helab@i.com.ua*

Проведений експериментальний аналіз точності рішень дискретної некоректної зворотної задачі методом випадкових проєкцій. Визначення мінімуму помилки здійснювалося з використанням критеріїв вибору моделі. Метод випадкових проєкцій з використанням критеріїв вибору моделі забезпечує точність на рівні регуляризації Тихонова.

*Ключові слова:* дискретна некоректна зворотна задача, псевдозвернення, регуляризація, проектування, критерії вибору моделі.

The analysis of decisions exactness of discrete ill-posed inverse problem by random projections method has been performed. Random projections method with model selection criteria has shown accuracy similar to Tikhonov regularization.

*Keywords:* discrete ill-posed inverse problems, pseudo-inverse, regularization, projection, model selection.

Проведен експериментальний аналіз точності рішень дискретної некоректної зворотної задачі методом випадкових проєкцій. Визначення мінімуму помилки здійснювалося з використанням критеріїв вибору моделі. Метод випадкових проєкцій з використанням критеріїв вибору моделі забезпечує точність на рівні регуляризації Тихонова.

*Ключевые слова:* дискретная некорректная обратная задача, псевдообращение, регуляризация, проектирование, критерии выбора модели.

### Введение

Во многих практических приложениях требуется решать дискретную обратную задачу [1, 2] вида:

$$\Phi \mathbf{x} = \mathbf{y}, \quad (1)$$

где матрица  $\Phi \in \mathcal{R}^{N \times N}$  и вектор  $\mathbf{y} \in \mathcal{R}^N$ , искаженный аддитивным шумом  $\boldsymbol{\varepsilon} \in \mathcal{R}^N$   $\mathbf{y} = \mathbf{y}_0 + \boldsymbol{\varepsilon}$ , известны и получены в результате оцифровки интегрального уравнения первого рода. Требуется оценить вектор сигнала  $\mathbf{x} \in \mathcal{R}^N$ .

В случае, когда  $\mathbf{y}$  содержит шум, ряд сингулярных чисел  $\sigma_i$  матрицы  $\Phi$  плавно спадает к нулю,  $\Phi$  имеет высокое число обусловленности  $\sigma_{\max}/\sigma_{\min}$ , задачу оценки  $\mathbf{x}$  называют дискретной некорректной обратной задачей [1]. Такие свойства  $\Phi$  характерны для задач спектрометрии [3], гравиметрии [4], электроразведки [5].

Решение дискретной некорректной обратной задачи как задачи наименьших квадратов [2]

$$\mathbf{x}' = \operatorname{argmin}_{\mathbf{x}} \|\mathbf{y} - \Phi \mathbf{x}\|_2 \quad (2)$$

на основе псевдообращения

$$\mathbf{x}' = \Phi^+ \mathbf{y} \quad (3)$$

является неустойчивым [1, 2]. Признаком неустойчивости является то, что малым изменениям вектора  $\mathbf{y}$  соответствуют большие изменения решения  $\mathbf{x}'$ ; при этом велико значение ошибки решения.

Для преодоления неустойчивости и, соответственно, повышения точности решения используют регуляризацию [1, 2]. Регуляризация накладывает некоторые ограничения на решения, которые позволяют повысить их устойчивость – например, малость  $l_2$ -нормы решения  $\|\mathbf{x}'\|_2$ . Классическим методом регуляризации является регуляризация Тихонова [2]. Задачу регуляризации Тихонова формулируют следующим образом

$$\mathbf{x}' = \operatorname{argmin}_{\mathbf{x}} (\|\mathbf{y} - \Phi \mathbf{x}\|_2 + \lambda \|\mathbf{x}\|_2), \quad (4)$$

где  $\lambda$  – параметр регуляризации.

Недостатками, присущими методам решения дискретных некорректных обратных задач на основе регуляризации Тихонова, являются высокая вычислительная сложность и сложность подбора правильного параметра регуляризации, от которого в значительной мере зависит устойчивость решения. Поэтому востребованными являются альтернативные подходы к решению дискретной некорректной обратной задачи с точностью на уровне регуляризации Тихонова, но с меньшей вычислительной сложностью.

Нами разрабатывается подход к решению дискретной некорректной обратной задачи с использованием методов псевдообращения и случайных проекций [6, 7]. В данной работе приводятся результаты исследования точности восстановления истинного сигнала при определении минимума ошибки метода случайных проекций с использованием критериев выбора модели.

### **1. Решение дискретной некорректной обратной задачи методом случайных проекций**

Нами разрабатывается подход к решению дискретной некорректной обратной задачи, использующий проекционную версию рандомизированных алгоритмов приближения матриц [8]. В качестве проектора  $\Omega \in \mathbb{R}^{k \times N}$  используется матрица с элементами, сформированными реализациями случайной величины [9, 10].

Для решения обратной задачи с использованием проекционного подхода [9, 6, 7] умножим обе части исходного уравнения (1) на матрицу  $\Omega \in \mathbb{R}^{k \times N}$ ,  $k \leq N$ , элементы которой – реализации случайной величины с нормальным распределением, нулевым средним и единичной дисперсией. Число столбцов  $N$  матрицы  $\Omega$  определяется размерностью исходной матрицы  $\Phi$ , число строк  $k$  априори не фиксировано.

Получим уравнение

$$\Omega \Phi \mathbf{x} = \Omega \mathbf{y}, \text{ где } \Omega \Phi \in \mathbb{R}^{k \times N}, \Omega \mathbf{y} \in \mathbb{R}^k. \quad (5)$$

Тогда задача наименьших квадратов (2) записывается в виде

$$\mathbf{x}' = \operatorname{argmin}_{\mathbf{x}} \|\Omega\Phi\mathbf{x} - \Omega\mathbf{y}\|_2. \quad (6)$$

Восстановление сигнала  $\mathbf{x}$  на основе псевдообращения с использованием случайного проецирования получим, как

$$\mathbf{x}' = (\Omega\Phi)^+ \Omega\mathbf{y}. \quad (7)$$

Восстановление сигнала на основе псевдообращения с использованием QR разложения матрицы  $\Omega\Phi$  получим, как

$$\mathbf{x}' = (\mathbf{Q}^T\Phi)^+ \mathbf{Q}^T\mathbf{y}. \quad (8)$$

Точность решения обратной задачи будем оценивать с помощью ошибки  $d$  восстановления истинного сигнала  $\mathbf{x}$ , вычисляемой как

$$d = \|\mathbf{x} - \mathbf{x}'\| = \|\mathbf{e}\|, \quad (9)$$

где  $\mathbf{x}'$  – вектор восстановленного сигнала,  $\mathbf{e}$  – вектор ошибки решения.

Анализ зависимостей  $d$  от  $k$  показывает [7], что для всех методов при определенном значении  $k$  зависимость имеет минимум, положение которого при возрастании уровня шума смещается в область меньших значений  $k$ , а значение ошибки в точке минимума возрастает.

Определение оптимального значения  $k$  (соответствующего минимальному значению ошибки) непосредственно по выражению (9) представляет только теоретический интерес, т.к. выражение включает вектор истинного сигнала, который в практических задачах неизвестен.

В данной работе предлагается оценивать  $k$  соответствующее минимуму ошибки  $d$  путем минимизации критерия выбора модели. Наиболее известными критериями выбора модели являются критерии:  $C_p$  Маллоуза [11],  $AIC$  Акаике [12],  $gMDL$  Бин Ю [13].

Выражение для критерия  $gMDL$  с учетом проецирования имеет вид:

$$\begin{aligned} gMDL &= 0.5L \log(S) + 0.5k \log(F) + \log(L) \text{ при } R^2 \geq k/N, \\ gMDL &= 0.5L \log(\mathbf{b}^T \mathbf{b} / L) + 0.5 \log(L) - \text{иначе,} \end{aligned} \quad (10)$$

где  $S = RSS/(N-k)$ ,  $F = (\mathbf{b}^T \mathbf{b} - RSS)/kS$ ,  $R$  – множественный коэффициент корреляции,  $R^2 = 1 - RSS/(\mathbf{b}^T \mathbf{b})$ ,  $RSS = \|\mathbf{A}\mathbf{A}^+ \mathbf{b} - \mathbf{b}\|_2$

Для проецирования случайной матрицей:

$$\mathbf{b} = \Omega\mathbf{y}, \mathbf{A} = \Omega\Phi. \quad (11)$$

Для проецирования с использованием QR разложения:

$$\mathbf{b} = \mathbf{Q}\mathbf{y}, \mathbf{A} = \mathbf{Q}\Phi. \quad (12)$$

Проведем экспериментальное исследование точности оценивания оптимального значения  $k$  с использованием критериев выбора модели:  $C_p$  Маллоуза,  $AIC$  Акаике,  $gMDL$  Бин Ю.

## 2. Экспериментальное исследование

Исследуем экспериментально зависимость ошибки восстановления сигнала  $d$  от числа строк  $k$  для матриц проекторов  $\mathbf{R}$  и  $\mathbf{Q}$ .

Столбцы матрицы  $\Phi$  были сформированы радиальными базисными функциями вида  $f_n(z) = \exp(-k_1(z-c)^2)$ ; где  $c = d \cdot n + b$ ; ( $d=5, b=20$ ),  $k = \{0.001, 0.01, 0.05, 0.06, 0.1\}$ ,  $z = \{1, 2, \dots, 100\}$ ,  $n$  – номер базисной функции. Компоненты вектора  $x$  следующие:  $x(60)=100$ ;  $x(61)=98$ ;  $x(62)=90$ ;  $x(63)=70$ ;  $x(64)=60$ ;  $x(65)=30$ ;  $x(59)=98$ ;  $x(58)=90$ ;  $x(57)=70$ ;  $x(56)=60$ ;  $x(55)=30$ ;  $x(54)=20$ ; не указанные компоненты равны нулю. Вектор правой части  $y$  формировался путем умножения матрицы  $\Phi$  на вектор  $x$  согласно выражению (1).

В данной задаче матрица  $\Phi$  имела размерность  $200 \times 200$ , высокое число обусловленности ( $\sigma_{\max}/\sigma_{\min} \gg 1$ ), и ряд сингулярных чисел, плавно спадающий к нулю. Вектор правой части уравнения (1) искажался аддитивным шумом  $\varepsilon$  с нормальным распределением.

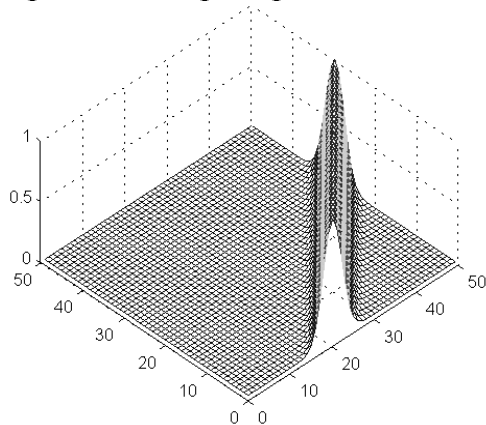


Рис.1 Подматрица (50x50) матрицы  $\Phi$

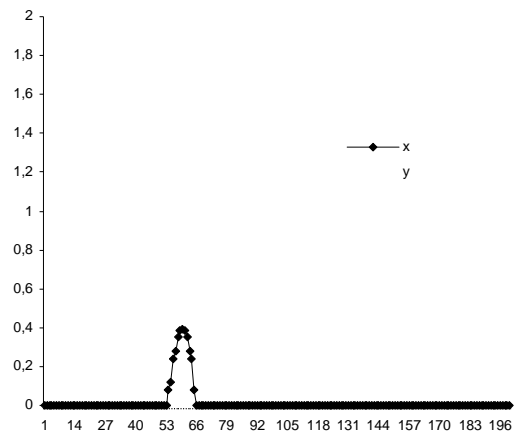


Рис.2 Вектор сигнала  $x$  и правой части  $y$

На рис. 3 приведены зависимости ошибки восстановления сигнала  $d$  от числа строк  $k$  матрицы проектора при уровнях шума  $10^{-6}$ ,  $10^{-4}$ ,  $10^{-2}$  для проецирования матрицами:  $R(k \times N) D x Q$ , и  $Q(k \times N) D x R$ .

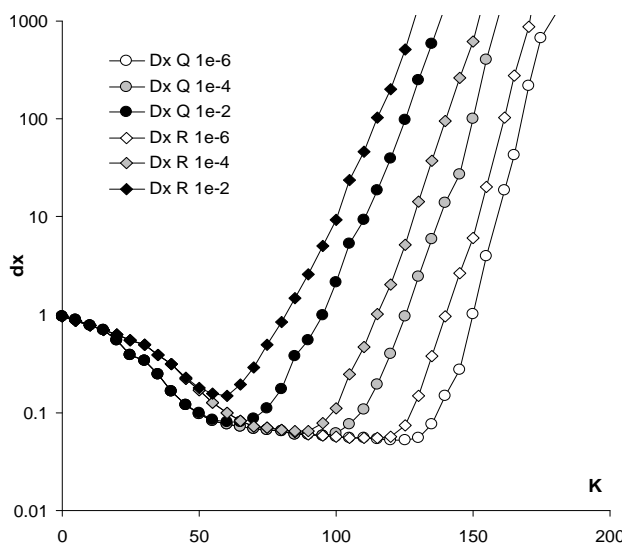


Рис.3 Зависимость ошибки восстановления сигнала  $d$  от числа строк  $k$  матриц  $R$  и  $Q$

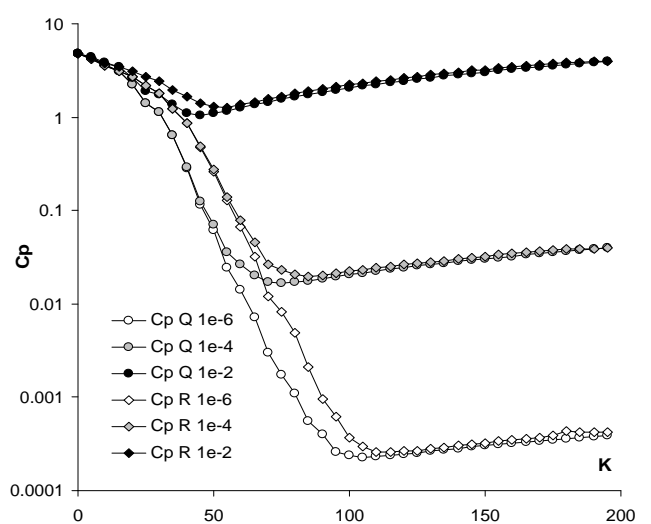


Рис.4 Зависимость значения критерия Маллоуза от числа строк  $k$  матриц  $R$  и  $Q$

Анализ зависимостей  $d$  от  $k$  показывает, что для всех методов при определенном значении  $k$  зависимость имеет минимум, положение которого при возрастании уровня шума смещается в область меньших значений  $k$ , а значение ошибки в точке минимума возрастает.

При использовании в качестве проектора матрицы  $\mathbf{Q}$  значение ошибки в точке минимума для всех уровней шума меньше чем при использовании матрицы  $\mathbf{R}$ .

На рис. 4-6 приведены зависимости значений критериев выбора модели (Акаике  $AIC$ , Маллоуза  $Cp$ , Бин Ю  $MDL$ ) от числа строк  $k$  матрицы проектора при уровнях шума  $10^{-6}$ ,  $10^{-4}$ ,  $10^{-2}$  для проецирования матрицами  $\mathbf{R}$  и  $\mathbf{Q}$ .

Анализ зависимостей значений критериев выбора модели от  $k$  показывает, что для всех критериев зависимость имеет единственный минимум, положение которого при возрастании уровня шума смещается в область меньших значений  $k$ , а значение ошибки в точке минимума возрастает.

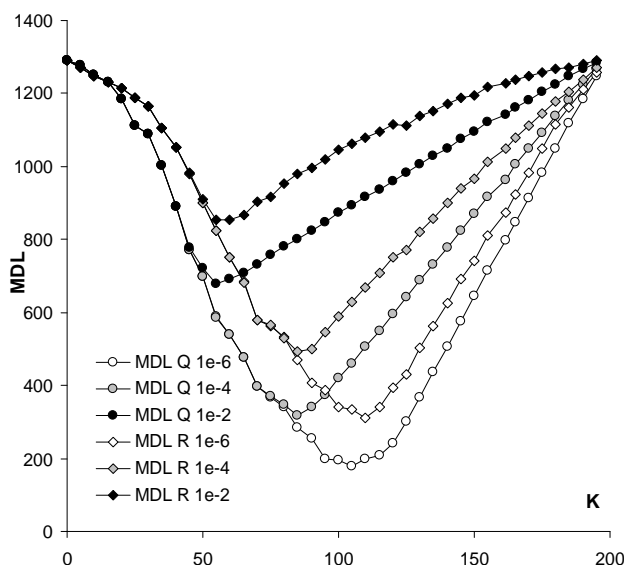


Рис.5 Зависимость значения критерия Бин Ю от числа строк  $k$  матриц  $\mathbf{R}$  и  $\mathbf{Q}$

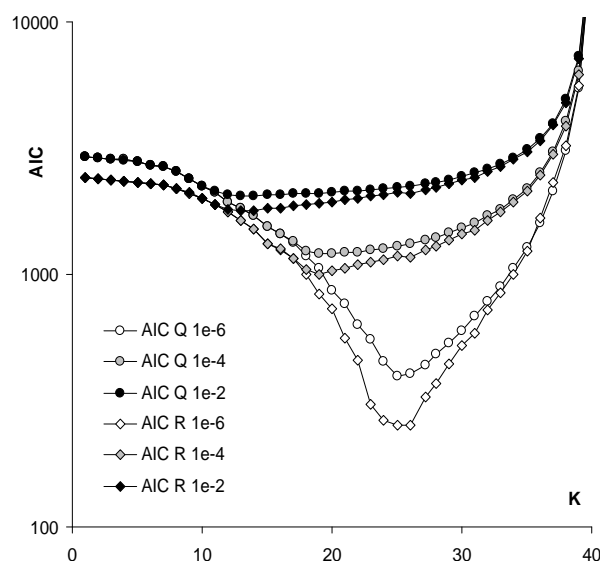


Рис.6 Зависимость значения критерия Акаике от числа строк  $k$  матриц  $\mathbf{R}$  и  $\mathbf{Q}$

Отметим, что число строк матрицы проектора  $k_{\min CR}$ , при котором значение критерия выбора модели минимально не совпадает в точности со значением  $k_{\min Dx}$  при котором минимально значение ошибки восстановления сигнала вычисленной с использованием вектора истинного сигнала.

Несовпадение  $k_{\min CR}$  и  $k_{\min Dx}$  является причиной приращения ошибки восстановления сигнала относительно теоретической при использовании метода поиска оптимального  $k$  на основе критериев выбора модели.

Значения ошибки для методов без проецирования и минимальные значения ошибки для методов с проецированием приведены в таблице 1. Сравнивались значения ошибки для следующих методов, работающих без

проецирования: регуляризация Тихонова с подбором параметра регуляризации методом перекрестной проверки  $GCV$ , методом  $L$ -кривой  $L_{cur}$  и метод на основе псевдообращения  $pin$ .

Таблица 1

$nl$	$d_{\min}$ методов с проецированием								$d$ методов без проецирования		
	$dx$		$Cp$		$AIC$		$MDL$		$pin$	$GCV$	$L_{cur}$
	$Q$	$R$	$Q$	$R$	$Q$	$R$	$Q$	$R$			
$10^{-6}$	0,052	0,054	0,056	0,055	0,053	0,585	0,055	0,055	$10^3$	0,05	0,11
$10^{-4}$	0,058	0,064	0,068	0,642	0,059	0,072	0,06	0,064	$10^5$	0,06	0,17
$10^{-2}$	0,08	0,147	0,129	0,18	0,08	0,162	0,085	0,148	$10^7$	0,08	0,17

Среди исследованных методов, работающих без проецирования, наименьшую ошибку обеспечивает регуляризация Тихонова с подбором параметра регуляризации методом перекрестной проверки. Среди методов с проецированием наименьшую ошибку обеспечивают методы использующие проецирование  $Q$  матрицей с критериями выбора модели  $AIC$  и  $MDL$ .

### 3. Выводы

Проецирование снижает ошибку решения регуляризацией Тихонова в случае, когда до проецирования ошибка решения велика. Ошибка решения псевдообращением без проецирования на несколько порядков превышает ошибки остальных методов, и метод псевдообращения без проецирования непригоден для решения рассмотренных обратных задач.

При выборе  $k$  с использованием критериев выбора модели, точность решения методом на основе псевдообращения матрицы с проецированием находится на уровне лучшего метода регуляризации Тихонова без проецирования. Среди методов с проецированием наименьшую ошибку обеспечивают методы использующие проецирование  $Q$  матрицей.

Использование методов на основе псевдообращения с проецированием является перспективным в силу снижения вычислительных затрат. Это снижение происходит из-за уменьшения вычислительной сложности сингулярного разложения матрицы  $A$  при  $k$ , составляющих малую долю  $N$  (что особенно проявляется при увеличении уровня шума), по сравнению с сложностью сингулярного разложения исходной  $\Phi$ .

## **Литература**

1. Hansen P.C. Rank-deficient and discrete ill-posed problems. Numerical Aspects of Linear Inversion. – SIAM, Philadelphia, 1998. – 247 p.
2. Tikhonov A.N., Arsenin V.Y., Solution of ill-posed problems. V.H. Winston, Washington, DC, 1977.
3. Забулонов Ю.Л., Коростиль Ю.М., Ревунова Е.Г. Оптимизация решения обратной задачи по восстановлению функции плотности распределения поверхностных загрязнений // Сборник научных трудов ИПМЭ НАН Украины “Моделирование и информационные технологии”. – 2006. – С. 77 – 83.
4. Булах Е.Г. О новом аппроксимационном подходе к решению обратных задач гравиметрии в классе трехмерных контактных поверхностей // Докл НАНУ. 2006. № 1. С. 108–112.
5. Хмелевский В.К., Бондаренко В.М. Электроразведка. – М.: Недра, 1999. – 438с.
6. Ревунова Е.Г., Рачковский Д.А. Повышение точности решения обратной задачи с использованием случайных проекций, // 16-th Intern. Conf. Knowledge-Dialogue-Solution. – 2009– V.10. – P. 95–102.
7. Revunova E.G. Study of error components for solution of the inverse problem using random projections // Conf. on Inductive Modeling (ICIM-10). – Eupatoria. – 2010. – V.1. – P.1–7.
8. Halko N., Martinsson P.G., Tropp J.A. Finding structure with randomness: Stochastic algorithms for constructing approximate matrix decompositions // ACM Report Caltech. – 2009. – №. 2009-5. – P.1–82.
9. Sarlos T. Improved approximation algorithms for large matrices via random projections // In Proceedings of the 47th Annual IEEE Symposium on Foundations of Computer Science. – 2006. – P.143–152.
10. Drineas P., Mahoney M.W., Muthukrishnan S., Sarlos T. Faster least squares approximation // Tech. Rep. 0710.1435. – 2007.
11. Mallows C.L. Some comments on  $C_p$  // Technometrics. – 1973. – V. 15, № 4. – P. 661-675.
12. Akaike H. A new look at the statistical model identification // IEEE Transactions on Automatic Control. – 1974. – V. 19, № 6. – P. 716-723.
13. Hansen M., Yu B. Model selection and minimum description length principle // J. Amer. Statist. Assoc. – 2001. – V. 96. – P. 746-774.